

# Algoritmo FSS Modificado Aplicado à Quantização Vetorial Robusta de Imagens

Wesley Vieira de Santana  
Universidade de Pernambuco  
Recife, Brasil  
wvs1@poli.br

Waslon Terllizzie Araújo Lopes  
Universidade Federal da Paraíba  
João Pessoa, Brasil  
waslon@ieee.org

Francisco Madeiro  
Universidade de Pernambuco  
Recife, Brasil  
madeiro@poli.br

**Resumo**—No presente trabalho, é apresentada uma versão modificada do algoritmo de Busca por Cardume (FSS – *Fish School Search*) aplicado ao problema de Quantização Vetorial Robusta (QVR). No processo de otimização da QVR, a figura de mérito utilizada é o índice de desordem considerando distâncias de Hamming iguais a 1 e 2. Os resultados de simulação mostram que o algoritmo FSS apresentou melhor desempenho quando comparado ao *Simulated Annealing* (SA) para várias condições de transmissão de imagens por Canal Binário Simétrico.

**Palavras-chaves**—Transmissão de imagens, quantização vetorial robusta, inteligência de enxame, otimização combinatorial, FSS, distância de *Hamming*.

## I. INTRODUÇÃO

O avanço das comunicações digitais tem motivado pesquisas em busca de esquemas de codificação eficientes para diminuir a ocupação da largura de banda na transmissão ou minimizar a utilização dos recursos de armazenamento de um sistema. A compressão de sinais (voz, imagem, áudio e vídeo) visa diminuir a quantidade de *bits* na sua representação digital.

A Quantização Vetorial (QV) é uma relevante técnica de compressão de sinais utilizada em muitos sistemas de comunicação digital [1]–[4]. A QV fundamenta-se na Teoria da Distorção Versus Taxa, formulada por Shanon, na qual é possível encontrar um melhor desempenho de compressão realizando a codificação de blocos de amostras, ou seja, vetores, em vez de escalares [5].

Contudo, a QV tem sensibilidade ao ruído introduzido pelo canal de comunicação, levando a erros na decodificação. Os erros do canal podem comprometer o desempenho do sistema de QV. Formas para atenuar este tipo de problema têm sido alvo de pesquisas, e.g. [6], [7].

Os impactos provocados por canais ruidosos no desempenho de um sistema de QV podem ser amenizados utilizando a Quantização Vetorial Otimizada para Canal (QVOC) [7], [8] ou a Quantização Vetorial Robusta (QVR) [6], [9], [10]. Na QVOC, o projeto do dicionário de vetores-códigos é realizado levando em consideração a distorção de um canal específico. Na QVR, o projeto do dicionário de vetores-códigos é realizado considerando um canal sem ruído, e, após a conclusão do projeto do dicionário, é realizada uma atribuição de índices (AI) aos vetores-códigos do dicionário através de um algoritmo de otimização. Este processo de organização dos

índices minimiza os impactos do ruído do canal, tornando o dicionário mais robusto aos erros [9].

Pesquisas têm explorado algoritmos que realizem a tarefa de organização dos índices do dicionário com o objetivo de torná-lo robusto. Farvadin [11] em 1990 propôs a utilização do *Simulated Annealing* (SA) para a organização dos índices de um dicionário. Melhorias foram propostas para o SA, e.g. [12], [13]. Zeger e Gersho [14] apresentaram o *Binary Switching Algorithm* (BSA). O algoritmo *Variable Neighborhood Search* (VNS) também foi utilizado como alternativa para atacar este problema, obtendo resultados satisfatórios comparados ao SA [15].

Algoritmos de inteligência computacional (IC), particularmente da área de computação bioinspirada, podem ser utilizados para resolver o problema de AI, como o algoritmo Colônia Artificial de Abelhas (ABC – *Artificial Bee Colony*) [6] e algoritmos evolucionários [16], [17].

Este trabalho tem como foco a QVR para transmissão de imagens. É apresentada uma modificação do algoritmo Busca por Cardume (FSS – *Fish School Search*) [18] para a realização da organização dos índices do dicionário. Neste estudo, foram consideradas distâncias de Hamming iguais a 1 e 2 como critérios para otimização da função objetivo, ou seja, o índice de desordem do dicionário. Para avaliar as imagens reconstruídas foram consideradas as medidas objetivas, Relação Sinal-Ruído de Pico (PSNR – *Peak Signal-to-Noise Ratio*) e Similaridade Estrutural (SSIM – *Structural Similarity*) [19].

Este trabalho está organizado da seguinte forma: a Seção II apresenta a problemática e fundamentos da QVR, a Seção III faz uma breve abordagem do algoritmo FSS, a Seção IV apresenta as modificações feitas no FSS para adaptá-lo ao problema de otimização combinatorial da QVR, a Seção V apresenta os resultados e a Seção VI contém as conclusões.

## II. QUANTIZAÇÃO VETORIAL ROBUSTA

Um Quantizador Vetorial pode ser definido como um mapeamento de um vetor  $K$ -dimensional pertencente a um espaço euclidiano  $\mathbb{R}^K$  para um subconjunto finito dado por  $Q : \mathbb{R}^K \rightarrow Y$ , em que  $Y = \{y_0, y_1, y_2, \dots, y_{N-1}\}$ , sendo  $y_i \in \mathbb{R}^K$ , para  $0 \leq i \leq N - 1$ . O conjunto  $Y$  é chamado de dicionário e os  $N$  elementos são os vetores-códigos. O tamanho do dicionário é  $N = 2^b$ , sendo  $b$  um inteiro positivo.

Cada um dos  $N$  índices que representam os vetores-códigos do dicionário podem ser apresentados na forma binária por  $\{0, 1\}^b$ , em que  $b$  é o comprimento da palavra-código.

A QVR visa diminuir, por meio do processo de AI, a sensibilidade dos erros provocados por um canal ruidoso sem a necessidade de adição de *bits* na codificação. Os erros do canal podem modificar o índice enviado pelo codificador, forçando o decodificador escolher de forma errada um vetor-código diferente do codificado, provocando, no caso de transmissão de imagens, em geral, bloqueamentos espúrios [13], [20].

Os efeitos provocados pelo ruído do canal podem resultar em uma distorção relevante do sinal reconstruído no receptor. Uma atribuição adequada dos índices aos vetores que compõem o dicionário pode fazer com que os vetores decodificados estejam próximos, em média, dos vetores originais. Desta forma, a distorção média introduzida pelos erros do canal pode ser minimizada [21].

A degradação do sinal é atenuada com a atribuição de índices com grande/pequena distância de Hamming a vetores-código com grande/pequena distância euclidiana. A distorção total do sistema de QV é a soma dos erros de quantização e dos erros nos índices transmitidos. É representada matematicamente como

$$U_\pi = E[d(x, y_i)] + E[d(y_i, y_j)], \quad (1)$$

em que  $U_\pi$  é a distorção total,  $E[d(x, y_i)]$  representa o operador valor esperado da distorção da quantização vetorial e  $E[d(y_i, y_j)]$  é o valor esperado da distorção da transmissão dos índices [21].

De forma a otimizar o desempenho do sistema de codificação para um dado dicionário, o valor da distorção provocada pelos erros nos índices deve ser minimizado considerando as possíveis permutações. Na equação (1) observa-se que  $E[d(x, y_i)]$  é a distorção esperada dado um vetor de entrada por um vetor-código do dicionário. Este valor é independente das atribuições dos índices aos vetores-códigos, ou seja, representa a distorção proveniente do projeto do dicionário. Para fins de minimização da distorção devido as permutações dos índices, é suficiente minimizar

$$D_\pi = \min_{\pi \in S_N} E[d(y_i, y_j)]. \quad (2)$$

O valor de  $E[d(y_i, y_j)]$  representa a distorção esperada dado o vetor-código transmitido em relação ao vetor-código recebido, assumindo que  $d(y_i, y_j)$  é a função de distorção quadrática entre eles.

Considerando cada índice binário  $q \in \{0, 1\}^b$  representando um vetor-código,  $m$  sendo um inteiro,  $1 \leq m \leq b$ , pode-se obter um conjunto de índices que fazem vizinhança com  $q$  obtendo os índices que possuem distância Hamming  $m$  em relação a  $q$ . Para uma palavra binária  $q$  de comprimento  $b$  o número de índices com distância Hamming  $m$  é dado por

$$\binom{b}{m}. \quad (3)$$

Supondo  $b = 3$ , os conjuntos para o índice “1” em decimal seriam:  $V^1(1) = \{0, 3, 5\}$ ,  $V^2(1) = \{2, 4, 7\}$  e  $V^3(1) = \{6\}$ .

Considerando um Canal Binário Simétrico (BSC – *Binary Symmetric Channel*) com probabilidade de erro  $p$  e utilizando a distribuição de Bernouli. A probabilidade de uma palavra-código de comprimento  $b$  seja transmitida e recebida no decodificador por uma outra palavra-código particular de distância Hamming  $m$ , é dada por

$$q_m = \binom{b}{m} p^m (1-p)^{b-m}. \quad (4)$$

Desta forma, a distorção para um vetor-código em particular  $y_k$ , em relação à permutação  $\pi$ , é dada por

$$C_{\pi(y_k)} = \sum_{m=1}^b q_m d(y_k, y_{\pi^{-1}(V^m(\pi(k)))}). \quad (5)$$

A função custo, que mede a contribuição total da distorção provocada pelos erros de canal, a qual deve ser minimizada, é dada por

$$D_\pi = \sum_{k=0}^{N-1} C_{\pi(y_k)}. \quad (6)$$

Esta função é chamada de índice de desordem do dicionário [21].

As Figuras 1 e 2 apresentam uma transmissão do índice 1, em sua representação binária, de um dicionário projetado e do dicionário correspondente organizado por meio da técnica de atribuição de índices, respectivamente. No cenário apresentado, considera-se que o canal poderá provocar até um erro de *bit* por símbolo, ou seja, o dicionário organizado da Figura 2 levou em consideração apenas distância Hamming 1 no processo de AI. Nessas ilustrações, observa-se que o dicionário organizado apresenta uma distorção menor que o original para a transmissão particular do índice 1 dos dicionários, o que representará uma minimização da distorção gerada na imagem reconstruída.

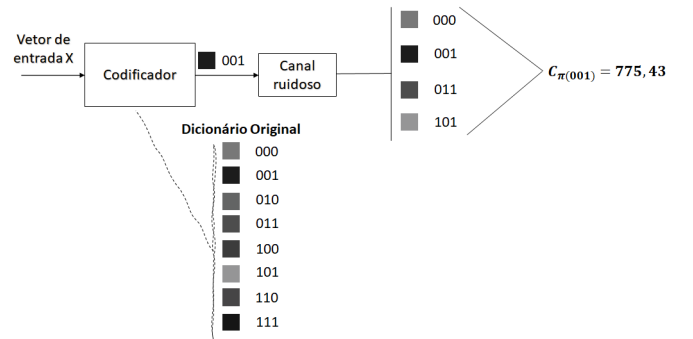


Figura 1: Transmissão do índice 1 de um vetor-código de dicionário original de tamanho 8 por um canal ruidoso.

### III. ALGORITMO FSS

O FSS é um algoritmo de inteligência de enxame inspirado no comportamento alimentar de cardumes, apresentado em 2008 por Bastos-Filho *et al.* [18]. O FSS apresenta bons resultados para problemas de otimização multimodal, devido

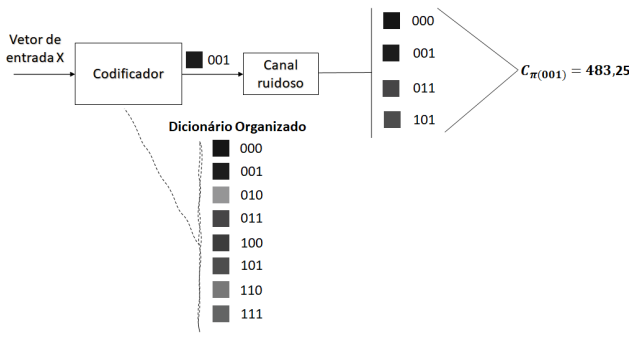


Figura 2: Transmissão do índice 1 de um vetor-código de dicionário organizado de tamanho 8 por um canal ruidoso.

ao mecanismo de expansão ou contração do cardume o que evita os mínimos locais [22]. Os movimentos realizados pelo cardume são: deslocamento individual, movimento coletivo instintivo e movimento coletivo volitivo.

#### A. Deslocamento Individual

Cada peixe do cardume executa uma busca local por melhores posições em sua vizinhança. Sua posição é atualizada se após o movimento individual o seu *fitness* melhorar. O operador de deslocamento individual é apresentado matematicamente como

$$x_p^{t+1} = x_p^t + (step_{ind} \cdot rand), \quad (7)$$

em que  $x_p^{t+1}$  é a posição futura do peixe após sofrer o deslocamento individual,  $x_p^t$  é a posição atual do peixe,  $step_{ind}$  é o valor de passo individual do peixe, sendo este valor multiplicado por um valor aleatório gerado a partir de uma distribuição uniforme entre  $[-1, 1]$ .

Após o deslocamento individual do cardume, realiza-se a operação de alimentação, o que definirá o peso de cada peixe. Este peso representa o sucesso do peixe em sua procura por melhores soluções. Quanto mais pesado for o peixe melhor é a qualidade das soluções encontradas. No início das interações do algoritmo, atribui-se a cada peixe um peso o qual será atualizado no decorrer das interações. A equação que define o peso do peixe é dada por

$$W_p^{t+1} = W_p^t + \frac{\Delta f_p}{\max(|\Delta f|)}, \quad (8)$$

sendo  $W_p^{t+1}$  o peso do peixe depois da alimentação,  $W_p^t$  é o peso atual do peixe,  $\Delta f_p$  representa a variação do *fitness* do peixe na interação atual em relação a anterior e  $\max(|\Delta f|)$  é o valor da maior variação de *fitness* do cardume.

#### B. Movimento Coletivo Instintivo

Este movimento visa mover o cardume em direção dos peixes que obtiveram melhores resultados após o deslocamento individual.

$$x_p^{t+1} = x_p^t + \frac{\sum_{p=1}^N (\Delta x_p^{ind} \cdot \Delta f_p)}{\sum_{p=1}^N \Delta f_p}, \quad (9)$$

em que  $x_p^{t+1}$  é a posição do peixe depois do movimento coletivo,  $x_p^t$  a posição atual do peixe,  $N$  é o total de peixes no cardume,  $\Delta x_p^{ind}$  é o deslocamento executado pelo peixe,  $\Delta f_p$  é a variação do *fitness* do peixe da interação atual em relação à anterior.

#### C. Movimento Coletivo Volitivo

Este é o último movimento executado pelo cardume. A idéia desse movimento é aproximar ou afastar os peixes do baricentro do cardume. O baricentro do cardume é dado por

$$Bari(t) = \frac{\sum_{p=1}^N (x_p^t \cdot W_p^t)}{\sum_{p=1}^N W_p^t}, \quad (10)$$

sendo  $N$  o total de peixes no cardume,  $x_p^t$  a posição atual do peixe e  $W_p^t$  o peso do peixe.

De forma geral, se o peso do cardume aumenta, então os peixes movem-se em direção do baricentro, ou seja, contração do cardume:

$$x_p^{t+1} = x_p^t - step_{vol} \frac{x_p^t - Bari(t)}{dist(x_p^t, Bari(t))}. \quad (11)$$

Do contrário, os peixes se afastam do baricentro, ou seja, expansão do cardume:

$$x_p^{t+1} = x_p^t + step_{vol} \frac{x_p^t - Bari(t)}{dist(x_p^t, Bari(t))}, \quad (12)$$

em que  $x_p^{t+1}$  é a posição do peixe depois da execução do movimento coletivo volitivo,  $x_p^t$  é a posição atual do peixe,  $step_{vol}$  é um parâmetro que controla a granularidade da pesquisa que segue a mesma função do  $step_{ind}$  e a função  $dist(\cdot, \cdot)$  retorna a distância euclidiana entre os dois elementos. A contração do cardume contribui para a convergência do algoritmo, enquanto a expansão ajuda a prevenir mínimos locais.

O Algoritmo 1 ilustra a sequência de passos do FSS.

## IV. ALGORITMO FSS APLICADO A QVR

O FSS tem seu foco em problemas de otimização contínua. Considerando que a QVR trata-se de uma otimização combinatorial, faz-se necessário realizar modificações no FSS para adequá-lo ao problema. Este trabalho apresenta mudanças no algoritmo que foram inspiradas nas versões binárias *Improved Binary Fish School Search* (IBFSS) proposto por Carneiro e Bastos-Filho [23] e na versão *Simplified Binary Fish School Search* (SBFSS) proposta por Santana Jr. *et al.* [24].

O primeiro passo é a inicialização do cardume, sendo que cada peixe  $x_p$  deve começar com uma combinação de  $N$  índices distintos, combinados a partir do conjunto  $x = \{1, 2, 3, \dots, N\}$ , sendo  $N$  o valor do tamanho do dicionário. Para o problema apresentado neste trabalho, todas as permutações dos índices são viáveis. Desta forma, a inicialização de um peixe pode ser descrita como

$$x_p^{t_0} = rand_{perm}(x), \quad (13)$$

em que  $rand_{perm}(\cdot)$  é uma função que retorna uma permutação aleatória do conjunto de índices possíveis.

---

**Algoritmo 1** Pseudocódigo FSS

---

- 1: Gere as posições aleatórias iniciais dos peixes dentro do espaço de pesquisa
- 2: Determine o peso inicial dos peixes
- 3: Use a função *fitness* para avaliar o *fitness* inicial dos peixes
- 4: **enquanto** critério de parada não é alcançado **faça**
- 5:     **para** cada peixe do cardume **faça**
- 6:         Execute o deslocamento individual. Equação (7)
- 7:     **fim para**
- 8:     Use a função *fitness* para avaliar o *fitness* dos peixes
- 9:     Atualize o melhor peixe
- 10:    **para** cada peixe do cardume **faça**
- 11:       Execute o operador de alimentação. Equação (8)
- 12:    **fim para**
- 13:    **para** cada peixe do cardume **faça**
- 14:       Execute o movimento coletivo instintivo. Equação (9)
- 15:    **fim para**
- 16:    **para** cada peixe do cardume **faça**
- 17:       Execute o movimento coletivo volitivo. Equação (10)
- 18:    **fim para**
- 19:    Use a função *fitness* para avaliar o *fitness* dos peixes
- 20:    Atualize o melhor peixe
- 21:    Atualize os  $step_{ind}$  e  $step_{vol}$
- 22:    **fim enquanto**
- 23:    Retorne o melhor peixe encontrado

---

Inicializado o cardume, realizam-se os movimentos de deslocamento individual, coletivo instintivo e coletivo volitivo do cardume, com as adaptações para o problema da QVR.

#### A. Deslocamento Individual

Para o deslocamento individual foi retirado o parâmetro  $step_{ind}$  conforme proposto em [24]. Para realizar o deslocamento individual são escolhidas duas dimensões aleatórias  $a$  e  $b$  as quais sejam valores inteiros dos intervalos,  $1 \leq a \leq N$ ,  $1 \leq b \leq N$  e  $a \neq b$ , sendo  $N$  o tamanho da dimensão do peixe. Dessa forma o operador de deslocamento individual passa a ser:

$$x_p^{t+1} = swap(a, b, x_p^t), \quad (14)$$

sendo  $swap(a, b, x)$  a função que permuta os valores das dimensões  $a$  e  $b$  do vetor  $x$ . Exemplificando, considerando o peixe  $x^t = \{2, 1, 3, 4\}$  para um  $N = 4$ , supondo que foram escolhidos aleatoriamente as dimensões  $a = 1$  e  $b = 3$ , a nova posição do peixe após aplicar a equação (14) será  $x^{t+1} = \{3, 1, 2, 4\}$ .

Após executado o operador de deslocamento individual, caso o peixe tenha melhorado o seu *fitness* o peixe assume a nova posição, do contrário, permanece na posição anterior. Foi proposta a criação de um vetor auxiliar  $M_p$  de comprimento

$N$  para cada peixe o qual identificará as dimensões que foram permutadas:

$$M_{p,d} = \begin{cases} 1, & \text{se } x_{p,d}^{t+1} \neq x_{p,d}^t \\ 0, & \text{se } x_{p,d}^{t+1} = x_{p,d}^t \end{cases} \quad (15)$$

em que  $M_{p,d}$  é valor relativo ao vetor auxiliar  $M_p$  na dimensão  $d$ ,  $x_{p,d}^{t+1}$  é o valor na dimensão  $d$  do peixe após o deslocamento individual e  $x_{p,d}^t$  é o valor na dimensão  $d$  do peixe antes do operador de deslocamento individual.

O operador de alimentação não sofreu alteração, portanto, basta aplicar a equação (8).

#### B. Movimento Coletivo Instintivo

Este movimento leva o cardume em direção às dimensões dos peixes com melhores *fitness* na interação. Para executar este operador, cria-se o vetor instintivo  $I$  que vai conter os valores mais promissores de cada dimensão. Para tanto, são utilizados os vetores auxiliares  $M_p$  da equação (15). Para cada dimensão dos peixes, verifica o valor do índice quando o vetor  $M_p$  da referida dimensão for igual a 1. O vetor  $I$  assumirá em cada dimensão o valor do peixe que obteve a maior variação do *fitness*. Quando em uma dimensão o vetor  $I$  não assumir nenhum valor, então será atribuído o valor referente do melhor peixe global. O Algoritmo 2 descreve o processo de criação do vetor  $I$ .

---

**Algoritmo 2** Vetor

---

- 1: **para** cada dimensão  $d$  **faça**
- 2:     Inicia  $\Delta_{f|dimensao} = 0$
- 3:     **para** cada peixe  $p$  **faça**
- 4:         **se**  $M_{p,d} == 1$  **então**
- 5:             **se**  $\Delta_{f(p)} > \Delta_{f|dimensao}$  **então**
- 6:                  $I_d = x_{p,d}$
- 7:                  $\Delta_{f(p)} = \Delta_{f|dimensao}$
- 8:             **fim se**
- 9:         **fim se**
- 10:     **fim para**
- 11:     **se**  $\Delta_{f|dimensao} = 0$  **então**
- 12:          $I_d = melhor_{peixe}(d)$
- 13:     **fim se**
- 14: **fim para**

---

Com o vetor  $I$ , pode-se realizar o deslocamento comparando cada dimensão de  $x_p$  com  $I$ , selecionando todas as dimensões que  $x_{p,d} \neq I_d$ . Em seguida, sorteia uma porcentagem destas dimensões selecionadas para realizar a permutação, de forma que não haja repetição. A porcentagem é definida pelo parâmetro  $step_{inst}$  que compreende em um intervalo de  $[0, 1]$  [23]. Após sorteada a dimensão que sofrerá a permutação, definida por  $a$ , deve-se encontrar a dimensão em  $x_p$  que contém o valor de  $I$  na dimensão sorteada. Esta dimensão encontrada no vetor  $x_p$  é definida por  $b$ . Com os índices das dimensões  $a$  e  $b$ , executa-se a permutação aplicando a equação (14).

Após realizadas todas as permutações verifica-se o novo *fitness*. Caso seja superior ao anterior o peixe assume a nova posição. O Algoritmo 3 mostra este processo.

---

#### Algoritmo 3 Movimento Coletivo Instintivo

---

```

1: para cada peixe p faça
2:   Verifica a quantidade de dimensões selecionadas
    $Qtde_{dif}$  com  $x_{p,d} \neq I_d$ 
3:   Crie uma lista DimensoesSelecionadas com as di-
   mensões selecionadas para o sorteio
4:    $permutacoes = step_{inst} \cdot Qtde_{dif}$ 
5:    $j = 1$ 
6:   para  $j \leq permutacoes$  faça
7:      $a = Random(DimensoesSelecionadas)$ 
8:     Encontre a dimensão  $b$  onde  $x_{p,b} = I_a$ 
9:     Aplique a equação (14) utilizando os valores  $a$  e  $b$ 
10:     $j = j + 1$ 
11:  fim para
12: fim para

```

---

#### C. Movimento Coletivo Volitivo

Neste movimento é empregada uma estratégia semelhante ao movimento coletivo. Para executar este operador, cria-se o vetor baricentro  $B$ , o que irá permitir realizar a expansão ou a contração do cardume. Para tanto, são utilizados os vetores auxiliares  $M_p$  criados conforme a equação (15). Para cada dimensão dos peixes, verifica o valor do índice quando o vetor  $M_p$  da referida dimensão for igual a 1. O vetor  $B$  assumirá em cada dimensão o valor do peixe que obteve a maior variação de peso, calculado no operador de alimentação. Quando em uma dimensão o vetor  $B$  não assumir nenhum valor, então será atribuído o valor referente ao peixe com maior peso. O algoritmo 4 descreve o processo de criação do vetor baricentro  $B$ .

---

#### Algoritmo 4 Vetor Baricentro

---

```

1: para cada dimensão d faça
2:   Inicia  $\Delta_{peso|dimensao} = 0$ 
3:   para cada peixe p faça
4:     se  $M_{p,d} == 1$  então
5:       se  $\Delta_{peso(p)} > \Delta_{peso|dimensao}$  então
6:          $B_d = x_{p,d}$ 
7:          $\Delta_{peso(p)} = \Delta_{peso|dimensao}$ 
8:       fim se
9:     fim se
10:  fim para
11:  se  $\Delta_{peso|dimensao} = 0$  então
12:     $B_d = PeixeMaiorPeso_d$ 
13:  fim se
14: fim para

```

---

Com o vetor baricentro  $B$ , pode-se realizar a contração ou expansão do cardume. Quando o peso do cardume aumenta na interação atual, o cardume aproxima-se do baricentro,

ocasionando a contração, sendo assim, compara-se cada dimensão de  $x_p$  com  $B$ , selecionando todas as dimensões em que  $x_{p,d} \neq B_d$ . Em seguida, sorteia uma porcentagem destas dimensões selecionadas para realizar a permutação, de forma que não haja repetição. Esta porcentagem é definida pelo parâmetro  $step_{vol}$  que compreende em um intervalo de  $[0, 1]$ , sendo este parâmetro decrementado linearmente [23]. Após sorteada a dimensão  $a$  que sofrerá a permutação, deve-se encontrar a dimensão em  $x_p$  que contém o valor de  $I$  na dimensão sorteada, sendo esta dimensão encontrada no vetor  $x_p$  definida por  $b$ . Com os valores de  $a$  e  $b$ , é realizada a permutação aplicando a equação (14).

Quando o peso do cardume não aumenta em relação à interação anterior, o cardume deve se afastar do baricentro. O processo é o mesmo do caso de contração. Contudo, selecionam-se as dimensões que  $x_{p,d} = B_d$ .

Após realizadas todas as permutações, verifica-se o novo *fitness*. Caso seja superior ao anterior o peixe assume a nova posição. Os algoritmos 5 e 6 mostram este processo para o caso de contração e expansão do cardume, respectivamente.

---

#### Algoritmo 5 Movimento Coletivo Volitivo (contração)

---

```

1: para cada peixe p faça
2:   Verifica a quantidade de dimensões selecionadas
    $Qtde_{dif}$  que  $x_{p,d} \neq B_d$ 
3:   Crie uma lista DimensoesSelecionadas com as di-
   mensões selecionadas para o sorteio
4:    $permutacoes = step_{vol} \cdot Qtde_{dif}$ 
5:    $j = 1$ 
6:   para  $j \leq permutacoes$  faça
7:      $a = Random(DimensoesSelecionadas)$  //Não
     pode repetir
8:     Encontre a dimensão  $b$  onde  $x_{p,b} = I_a$ 
9:     Aplique a equação (14) utilizando os valores  $a$  e  $b$ 
10:     $j = j + 1$ 
11:  fim para
12: fim para

```

---



---

#### Algoritmo 6 Movimento Coletivo Volitivo (expansão)

---

```

1: para cada peixe p faça
2:   Verifica a quantidade de dimensões selecionadas
    $Qtde_{dif}$  que  $x_{p,d} = B_d$ 
3:   Crie uma lista DimensoesSelecionadas com as di-
   mensões selecionadas para o sorteio
4:    $permutacoes = step_{vol} \cdot Qtde_{dif}$ 
5:    $j = 1$ 
6:   para  $j \leq permutacoes$  faça
7:      $a = Random(DimensoesSelecionadas)$  //Não
     pode repetir
8:     Encontre a dimensão  $b$  onde  $x_{p,b} = I_a$ 
9:     Aplique a equação (14) utilizando os valores  $a$  e  $b$ 
10:     $j = j + 1$ 
11:  fim para
12: fim para

```

---

## V. RESULTADOS

Para comparar o desempenho do FSS aplicado à QVR, foi escolhido o algoritmo SA [11]. Nas simulações, foram utilizados dicionários de tamanho  $N = 128, 256$  e  $512$  com dimensões  $K = 16$ , isto é, blocos de imagens com  $4 \times 4$  pixels. Os dicionários originais foram projetados utilizando o algoritmo *Linde-Buzo-Gray* (LBG) e para conjunto de treino foi escolhida a imagem *Lena*, codificada a  $8$  *bpp* (256 níveis de cinza), no formato *Portable Gray Map* (PGM) de  $256 \times 256$  pixels.

O algoritmo FSS foi configurado com os parâmetros de tamanho de cardume,  $step_{inst}$ ,  $step_{vol}$  e número de interações conforme apresentado na Tabela I. Estes valores foram baseados em [23] e [24], ajustados de acordo com experimentos prévios. Na Tabela II são apresentados os valores configurados para os parâmetros temperatura inicial ( $T_0$ ), temperatura final ( $T_f$ ) e constante de resfriamento ( $\beta$ ) do SA, baseando-se em [21] e também ajustados conforme experimentos prévios.

Tabela I: Parâmetros do FSS.

Parâmetros	$N = 128$	$N = 256$	$N = 512$
Tamanho do cardume	30	30	30
$step_{inst}$	0,1	0,1	0,1
$step_{vol}$ inicial	0,75	0,75	0,75
$step_{vol}$ final	0,25	0,25	0,25
Interações	3000	4000	4000

Tabela II: Parâmetros do SA.

Parâmetros	$N = 128$	$N = 256$	$N = 512$
$T_0$	50000	50000	50000
$T_f$	1	1	1
$\beta$	0,98	0,98	0,98

A função objetivo empregada é descrita na equação (6), para distância Hamming 1 e 2. Para cada tamanho de dicionário foram gerados cinco dicionários com distância Hamming 1 e mais cinco com distância Hamming igual a 2. As simulações foram realizadas em um computador com CPU Intel Core i5 7200U, 8 GB de memória RAM e SSD de 240 GB rodando o Windows 10. A linguagem utilizada para implementar o algoritmo FSS foi Python (versão 3.7).

As Tabelas III e IV apresentam as médias e os desvios padrão dos índices de desordem dos dicionários encontrados. Observa-se que o SA obteve resultados superiores ao FSS para  $N = 128$  e distâncias Hamming 1 e 2. Enquanto que  $N = 256$  o FSS apresentou melhor desempenho que SA para Hamming 1 e 2. Para  $N = 512$  e distância Hamming igual a 2, o SA obteve média levemente superior ao FSS. Contudo, pode-se afirmar que um desvio padrão elevado no SA faz com que alguns dicionários projetados tenham um índice de desordem maior do que FSS, o que prejudica o desempenho do sistema. Em outras palavras, quando dois algoritmos apresentarem médias de índice de desordem próximas, deve-se optar por aquele que tenha menor desvio padrão.

Para avaliar a robustez dos dicionários organizados pelos algoritmos, a imagem *Lena* foi transmitida 10 vezes por um canal BSC sob diversos valores de probabilidade de erro de *bit*,

Tabela III: Média e desvio padrão do valor do Índice de desordem, com distância Hamming = 1, encontrado pelos algoritmos.

N	FSS	SA
128	96186,40 $\pm$ 1223,36	95902,20 $\pm$ 1301,52
256	178169,00 $\pm$ 349,29	178900,80 $\pm$ 1042,59
512	376051,20 $\pm$ 2415,86	380271,00 $\pm$ 5239,02

Tabela IV: Média e desvio padrão do valor do Índice de desordem, com distância Hamming = 2, encontrado pelos algoritmos.

N	FSS	SA
128	79054,40 $\pm$ 149,55	78552,60 $\pm$ 170,23
256	181990,80 $\pm$ 662,67	182525,00 $\pm$ 324,33
512	469895,60 $\pm$ 799,72	468905,80 $\pm$ 2829,51

considerando o melhor dicionário gerado por cada algoritmo. A avaliação da qualidade das imagens reconstruídas para cada dicionário foi realizada em termos de PSNR e SSIM.

As Figuras 3 a 8 apresentam os valores médios de PSNR e SSIM em função da probabilidade de erro de *bit* do canal. Observa-se que em todos os tamanhos, os dicionários organizados apresentaram superioridade ao dicionário original. Para todos os tamanhos, dicionários organizados com distância Hamming igual a 2 pelo FSS, para probabilidade de erro de bit superior a 0,01, obtiveram desempenho superior aos organizados com Hamming igual a 1. Considerando o tamanho 128, os resultados alcançados pelos dicionários processados por FSS e SA ficaram muito próximos, sendo o FSS levemente superior. Para os tamanhos 256 e 512, o FSS apresenta superioridade ao SA quando compara os resultados para Hamming igual a 1 e 2. No tamanho 512, a escala utilizada pelo SSIM evidência a superioridade do FSS em relação ao SA.

As Figuras 9 e 10 apresentam as imagens *Lena* após serem submetidas à transmissão pelo canal BSC com probabilidade de erro de bit 0,01 e 0,1, respectivamente, para os dicionários de tamanho 512. Pode-se observar que as imagens reconstruídas a partir dos dicionários organizados obtiveram um desempenho de qualidade de imagem superior ao dicionário original, apresentando menos bloqueamentos espúrios.

## VI. CONCLUSÕES

Neste trabalho verifica-se que a versão do FSS apresentada para fins de QVR representa uma alternativa satisfatória ao problema de organização de dicionários. Com o aumento do tamanho dos dicionários o FSS apresenta melhor desempenho comparado ao SA. Considerar distância Hamming igual a 2, no cálculo do índice de desordem, é relevante e resulta em valores de qualidade não desprezíveis quando comparados a distância Hamming igual a 1, sobretudo com o aumento do tamanho dos dicionários e probabilidades de erro de *bit* superiores a 0,01.

Para trabalhos futuros, pretende-se avaliar a robustez dos dicionários organizados pelo FSS para outros tipos de canais, como canais com desvanecimento. Pretende-se também analisar a complexidade computacional das técnicas propostas.

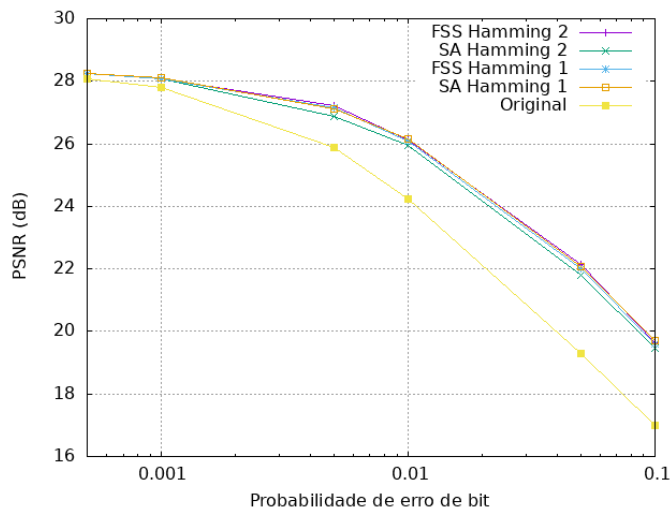


Figura 3: PSNR da imagem *Lena* reconstruída em função da probabilidade de erro de *bit* do canal utilizando um dicionário de tamanho 128.

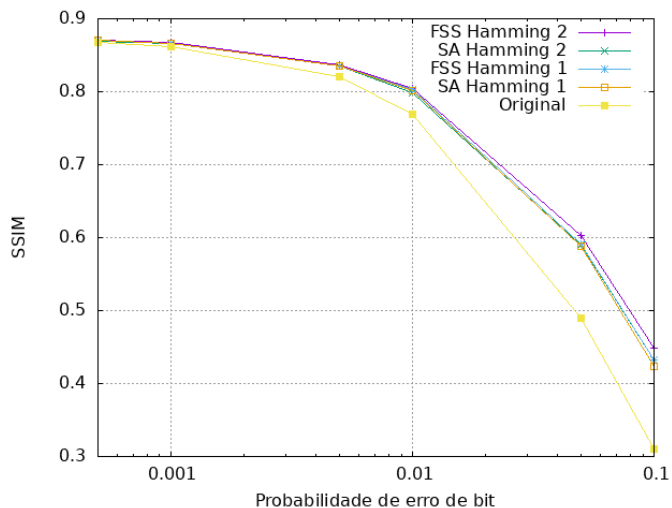


Figura 6: SSIM da imagem *Lena* reconstruída em função da probabilidade de erro de *bit* do canal utilizando um dicionário de tamanho 256.

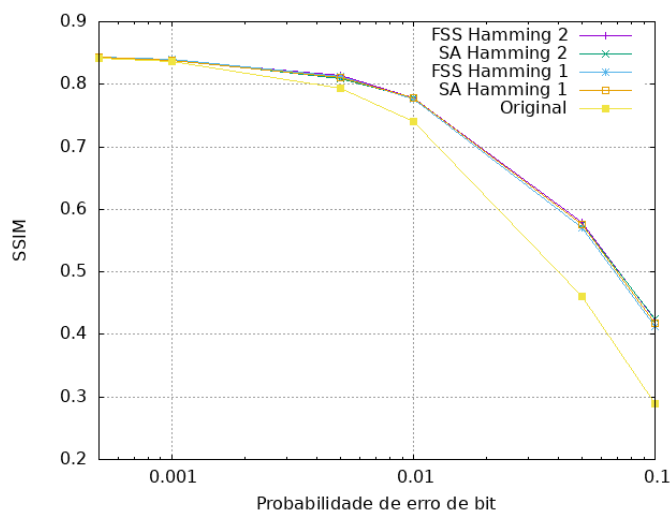


Figura 4: SSIM da imagem *Lena* reconstruída em função da probabilidade de erro de *bit* do canal utilizando um dicionário de tamanho 128.

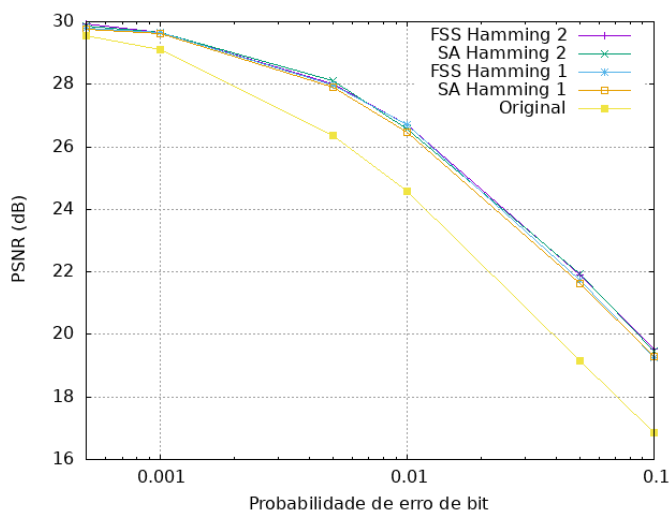


Figura 7: PSNR da imagem *Lena* reconstruída em função da probabilidade de erro de *bit* do canal utilizando um dicionário de tamanho 512.

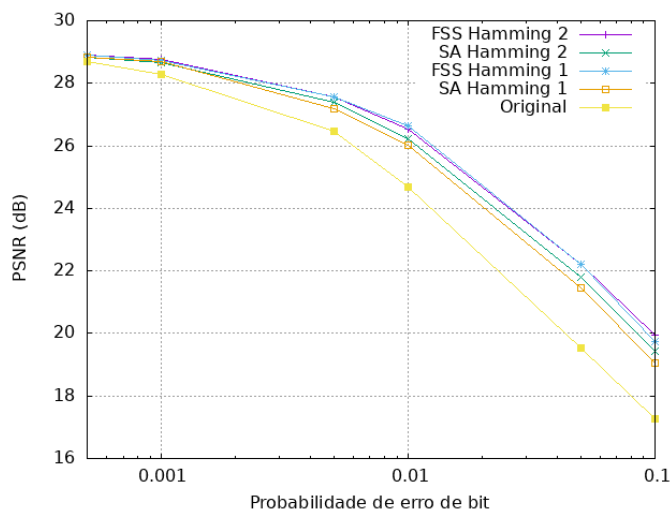


Figura 5: PSNR da imagem *Lena* reconstruída em função da probabilidade de erro de *bit* do canal utilizando um dicionário de tamanho 256.

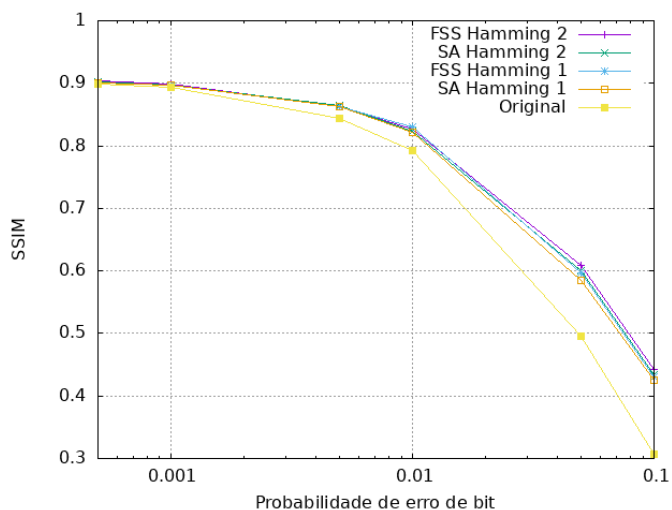


Figura 8: SSIM da imagem *Lena* reconstruída em função da probabilidade de erro de *bit* do canal utilizando um dicionário de tamanho 512.



Figura 9: Imagem *Lena* reconstruída após transmissão por canal BSC com probabilidade de erro de *bit* igual a 0,01 e  $N = 512$ .

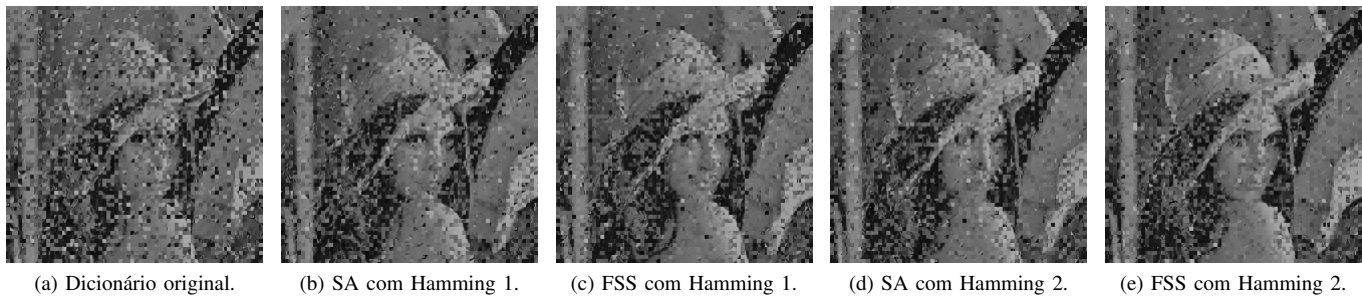


Figura 10: Imagem *Lena* reconstruída após transmissão por canal BSC com probabilidade de erro de *bit* igual a 0,1 e  $N = 512$ .

#### REFERÊNCIAS

- [1] P. Yu, H. Ren, Z. Le, e W. Hu, "Fast statistical estimation with vector quantization in compressed digital RoF system," in *2018 Asia Communications and Photonics Conference (ACP)*, 2018, pp. 1–3.
- [2] P. K. Shah, R. P. Pandey, e R. Kumar, "Vector quantization with codebook and index compression," in *2016 International Conference System Modeling Advancement in Research Trends (SMART)*, 2016, pp. 49–52.
- [3] Z. Wang, X. Xu, X. Qiang, e K. Li, "Learning vector quantization-aided detection for MIMO systems," *IEEE Communications Letters*, pp. 1–1, 2020.
- [4] Y. Li, C. Chang, e H. Mingxing, "High capacity reversible data hiding for VQ-compressed images based on difference transformation and mapping technique," *IEEE Access*, vol. 8, pp. 32 226–32 245, 2020.
- [5] R. Gray, "Vector quantization," *IEEE ASSP Magazine*, vol. 1, n.º. 2, pp. 4–29, 1984.
- [6] A. P. Barros, C. Santana, D. Almeida, H. Silva, W. Queiroz, W. Lopes, e F. Madeiro, "Algoritmo ABC aplicado à atribuição de índices para quantização vetorial robusta de imagens," in *Anais do 14 Congresso Brasileiro de Inteligência Computacional*. Curitiba, PR: ABRICOM, 2019, pp. 1–8.
- [7] F. Ferreira, H. Leitão, W. Lopes, e F. Madeiro, "Hybrid firefly-lindbuzo-gray algorithm for channel-optimized vector quantization codebook design," *Integrated Computer-Aided Engineering*, vol. 24, pp. 1–18, 05 2017.
- [8] C. Fonseca, F. Ferreira, e F. Madeiro, "Vector quantization codebook design based on Fish School Search algorithm," *Applied Soft Computing*, vol. 73, pp. 958–968, 2018.
- [9] E. Lima, G. Melo, W. Lopes, e F. Madeiro, "Um novo algoritmo para atribuição de índices: Avaliação em quantização vetorial de imagens," *Trends in Computational and Applied Mathematics*, vol. 10, n.º. 2, pp. 167–177, 2009.
- [10] J. Galvão, E. Lima, e F. Madeiro, "Atribuição de Índices para QV robusta usando o algoritmo Variable Neighborhood Search," *Trends in Computational and Applied Mathematics*, vol. 18, n.º. 2, 2017.
- [11] N. Farvardin, "A study of vector quantization for noisy channels," *IEEE Transactions on Information Theory*, vol. 36, n.º. 4, pp. 799–809, 1990.
- [12] T. N. Tuan e N. Q. Trung, "Improving the simulated annealing algorithm for the index assignment method to enhance the robustness of communication systems," *Journal of Research and Development on Information and Communication Technology*, pp. 13–20, 2014.
- [13] T. N. Tuan, N. Q. Trung, e T. N. Khanh, "Improving the simulated annealing algorithm for source codeword index assignment by using the mechanism of tabu search algorithm," in *2016 International Conference on Advanced Technologies for Communications (ATC)*, 2016, pp. 91–96.
- [14] K. Zeger e A. Gersho, "Pseudo-Gray coding," *IEEE Transactions on Communications*, vol. 38, n.º. 12, pp. 2147–2158, 1990.
- [15] J. Galvão, E. Lima, e F. Madeiro, "Atribuição de índices para QV robusta usando o algoritmo variable neighborhood search," *TEMA (São Carlos)*, vol. 18, n.º. 2, pp. 197–214, 2017.
- [16] L. Tianhao e Y. Songyu, "Evolutionary algorithm based index assignment algorithm for noisy channel," *Journal of Systems Engineering and Electronics*, vol. 15, n.º. 3, pp. 431–435, 2004.
- [17] J. Pan, F. McInnes, e M. Jack, "Application of parallel genetic algorithm and property of multiple global optima to VQ codevector index assignment for noisy channels," *Electronics Letters*, vol. 32, n.º. 4, pp. 296–297, 1996.
- [18] C. J. A. Bastos Filho, F. B. de Lima Neto, A. J. C. C. Lins, A. I. S. Nascimento, e M. P. Lima, "A novel search algorithm based on fish school behavior," in *2008 IEEE International Conference on Systems, Man and Cybernetics*, 2008, pp. 2646–2651.
- [19] Z. Wang, A. Bovik, H. Sheikh, e E. Simoncelli, "Image quality assessment: from error visibility to structural similarity," *IEEE Transactions on Image Processing*, vol. 13, n.º. 4, pp. 600–612, 2004.
- [20] R. A. Azevedo, F. Madeiro, W. T. A. Lopes, e E. A. O. Lima, "A quasi random symbol interleaving technique applied to image transmission by noisy channels," *IEEE Latin America Transactions*, vol. 14, n.º. 3, pp. 1078–1085, 2016.
- [21] W. T. A. Lopes, "Diversidade em modulação aplicada à transmissão de imagens em canais com desvanecimento." Tese de Doutorado em Engenharia Elétrica, Universidade Federal de Campina Grande, 2003.
- [22] C. Bastos-Filho e D. Nascimento, "An enhanced fish school search algorithm," in *2013 BRICS Congress on Computational Intelligence and 11th Brazilian Congress on Computational Intelligence*, 2013, pp. 152–157.
- [23] R. F. Carneiro e C. J. A. Bastos-Filho, "Improving the binary fish school search algorithm for feature selection," in *2016 IEEE Latin American Conference on Computational Intelligence (LA-CCI)*, 2016, pp. 1–6.
- [24] C. J. Santana, C. J. A. Bastos-Filho, M. Macedo, e H. Siqueira, "SBFSS: Simplified binary fish school search," in *2019 IEEE Congress on Evolutionary Computation (CEC)*, 2019, pp. 2595–2602.